

1. Rechnerische Behandlung des Drehstromsystems

1.1. Spannung u

Augenblickswert: $u(t) = \hat{u} \cos(\omega t + \varphi_u) = U\sqrt{2} \cos(\omega t + \varphi_u)$

Scheitelwert / Amplitude: \hat{u}

Effektivwert (allg.): $U_{\text{eff}} = U = \sqrt{\frac{1}{T} \int_{t_0}^{t_0+T} u^2(\tau) d\tau}$

→ bei sinusförmigen Größen: $U = \frac{\hat{u}}{\sqrt{2}}$

Phasenwinkel: $\varphi(t) = \omega t + \varphi_u$ mit $\omega = 2\pi f = \frac{2\pi}{T}$

Nullphasenwinkel: φ_u

1.2. Stromstärke i

Augenblickswert: $i(t) = \hat{i} \cos(\omega t + \varphi_i) = I\sqrt{2} \cos(\omega t + \varphi_i)$

Scheitelwert / Amplitude: \hat{i}

Effektivwert (bei sinusförmigen Größen): $I = \frac{\hat{i}}{\sqrt{2}}$

Phasenwinkel: $\varphi(t) = \omega t + \varphi_i$ mit $\omega = 2\pi f = \frac{2\pi}{T}$

Nullphasenwinkel: φ_i

Phasenverschiebungswinkel:

$\varphi = \varphi_{ui} = \varphi_u - \varphi_i$

$0 < \varphi \leq \pi$: Strom eilt der Spannung nach
 $-\pi \leq \varphi < 0$: Strom eilt der Spannung vor

1.3. Symmetrische Komponenten

zerlegen eines Dreileiter-Drehstromnetz in unabhängige Systeme (Mit-, Gegen- und Nullsystem)

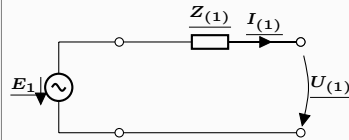
Entsymmetrierungsmatrix T :

$$\begin{pmatrix} \underline{I}_1 \\ \underline{I}_2 \\ \underline{I}_3 \end{pmatrix} = \begin{bmatrix} 1 & 1 & 1 \\ \underline{a}^2 & \underline{a} & 1 \\ \underline{a} & \underline{a}^2 & 1 \end{bmatrix} \cdot \begin{pmatrix} \underline{I}_{(1)1} \\ \underline{I}_{(2)1} \\ \underline{I}_{(0)1} \end{pmatrix}$$

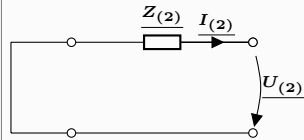
Symmetrierungsmatrix S :

$$\begin{pmatrix} \underline{I}_{(1)1} \\ \underline{I}_{(2)1} \\ \underline{I}_{(0)1} \end{pmatrix} = \frac{1}{3} \cdot \begin{bmatrix} 1 & \underline{a} & \underline{a}^2 \\ 1 & \underline{a}^2 & \underline{a} \\ 1 & 1 & 1 \end{bmatrix} \cdot \begin{pmatrix} \underline{I}_1 \\ \underline{I}_2 \\ \underline{I}_3 \end{pmatrix}$$

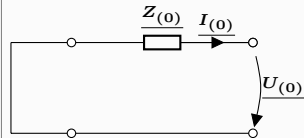
Mitsystem:



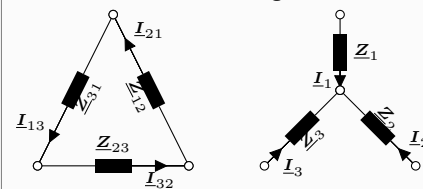
Gegensystem:



Nullsystem:



1.4. Stern-Dreieck-Umwandlung



$$\underline{Z}_1 = \frac{\underline{Z}_{12} \underline{Z}_{31}}{\underline{Z}_{12} + \underline{Z}_{23} + \underline{Z}_{31}}$$

$$\underline{Z}_2 = \frac{\underline{Z}_{12} \underline{Z}_{23}}{\underline{Z}_{12} + \underline{Z}_{23} + \underline{Z}_{31}}$$

$$\underline{Z}_3 = \frac{\underline{Z}_{23} \underline{Z}_{31}}{\underline{Z}_{12} + \underline{Z}_{23} + \underline{Z}_{31}}$$

$$\underline{I}_1 = \underline{I}_{12} - \underline{I}_{31}$$

$$\underline{I}_2 = \underline{I}_{23} - \underline{I}_{12}$$

$$\underline{I}_3 = \underline{I}_{31} - \underline{I}_{23}$$

2. Freileitungen und Kabel

2.1. Freileitungen

2.1.1 Durchgang der Freileitungsseile

$f(x)$	Durchgang an der Stelle x
G'	Gewichtskraft des Leiters pro Längeneinheit
F_H	Horizontalkraft
h	mittlere Höhe der Leiterseile

Durchgang: $f(x) = f_{\max} - \frac{G'}{2F_H} x^2$ mit $f_{\max} a x = \frac{G'}{8F_H} a^2$

mittlere Höhe: $h = h_{\text{Mast}} - 0,7 \cdot f_{\max}$

Mindestabstand zum Erdboden (VDE 0210-1):

$$D_{\text{el}} \quad \text{elektrischer Grundabstand}$$

Mindestabstand: $h_{\min} = 5\text{m} + D_{\text{el}}$

Material:

z.B. Al/St 240/40:

Querschnitt des Aluminiumleiters 240mm², Querschnitt des Stahlleiters 40mm²

2.1.2 Bündelleiter

r_B	Ersatzradius
n	Anzahl der Teilleiter
r	Seilradius eines Teilleiters
r_T	Teilkreisradius

für einen Bündelleiter mit 4 Teilleitern: $r_T = \sqrt{2} \frac{a}{2}$

Ersatzradius r_B : $r_B = \sqrt[n]{n \cdot r \cdot r_T^{n-1}}$

Abstand zwischen den Außenleitern

Ersatzabstand D_{ers} für Einfachsysteme: $D = \sqrt[3]{D_{12} \cdot D_{23} \cdot D_{31}}$

Ersatzabstand für Doppelsysteme mit γ -Verdrillung:

$$D = \sqrt[3]{D_{12} \cdot D_{23} \cdot D_{31} \cdot \frac{D_{12}' \cdot D_{23}' \cdot D_{31}'}{D_{11}' \cdot D_{22}' \cdot D_{33}'}}$$

typische Angabe des Werte:

$$4 \cdot \frac{21,7}{400} \text{ mm} \Rightarrow a = 400\text{mm}, r = \frac{21,7}{2} \text{ mm}$$

2.1.3 Widerstandsbelag

Durch Ladungsträgerbewegung bei Stromfluss wird Joule'sche Wärme frei.

Q	Querschnitt
α	Temperaturkoeffizient
ϑ	Celsiustemperatur

Widerstand pro Längeneinheit: $R'_{20} = \frac{1}{\kappa_{20} Q}$

mit Temperaturabhängigkeit: $R'_{\vartheta} = \frac{1}{\kappa_{20} Q} [1 + \alpha(\vartheta - 20\text{K})]$

im Bündelleiter: $R_B = \frac{1}{n} \cdot R$ mit R ist Widerstand des Teilleiters

2.1.4 Induktivitätsbelag

Induktivität einer Leiterschleife mit Hin- und Rückleiter:

$$L_{00} = l \frac{\mu_0}{\pi} \cdot \left(\frac{1}{4} + \ln \frac{d}{r} \right)$$

Koppelinduktivitäten:

$$M = M_{12} = M_{23} = M_{31} = \frac{\mu_0}{2\pi} l \left(\frac{1}{4} + \ln \frac{d^2}{rD} \right)$$

Betriebsinduktivität:

$$L_b \cdot \underline{I}_1 = L_{00} \cdot \underline{I}_1 + M \cdot \underline{I}_2 + M \cdot \underline{I}_3 = (L_{00} - M) \cdot \underline{I}_1$$

$$\text{Betriebsinduktivitätsbelag: } L'_b = \left(2 \ln \frac{D_{\text{ers}}}{r} + \frac{1}{2} \right) \cdot 10^{-4} \frac{\text{H}}{\text{km}}$$

für Bündelleiter: $L'_b = \left(2 \ln \frac{D_{\text{ers}}}{r_B} + \frac{1}{2n} \right) \cdot 10^{-4} \frac{\text{H}}{\text{km}}$

2.1.5 Betriebsimpedanzen

Einfachseil: $\underline{Z}'_b = \underline{Z}'_{(1)} = R' + j\omega \frac{\mu_0}{2\pi} \left(\ln \frac{D}{r} + \frac{1}{4} \right)$

Bündelleiter: $\underline{Z}'_b = \underline{Z}'_{(1)} = \frac{R'}{n} + j\omega \frac{\mu_0}{2\pi} \left(\ln \frac{D}{r_B} + \frac{1}{4n} \right)$

Typische Werte (Al/St 240/40) bei 50Hz:

110kV	Einfachseil	$\underline{Z}'_b = (0,12 + j0,4) \frac{\Omega}{\text{km}}$
220kV	2er-Bündel	$\underline{Z}'_b = (0,06 + j0,3) \frac{\Omega}{\text{km}}$
380kV	4er-Bündel	$\underline{Z}'_b = (0,03 + j0,25) \frac{\Omega}{\text{km}}$

2.1.6 Nullimpedanz

Erdstromtiefe: $\delta = \frac{1,85}{\sqrt{\mu_0 \cdot \rho \cdot \omega}}$

Nullimpedanz für Einfachseile:

$$\underline{Z}'_{(0)} = \frac{U_{(0)}}{I_{(0)}} = R' + 3\omega \frac{\mu_0}{8} + j\omega \frac{\mu_0}{2\pi} \left(3 \ln \frac{\delta}{\sqrt{r \cdot D^2}} + \frac{1}{4} \right)$$

Nullimpedanz für Bündelleiter:

$$\underline{Z}'_{(0)} = \frac{U_{(0)}}{I_{(0)}} = \frac{R'}{n} + 3\omega \frac{\mu_0}{8} + j\omega \frac{\mu_0}{2\pi} \left(3 \ln \frac{\delta}{\sqrt{r \cdot D^2}} + \frac{1}{4n} \right)$$

2.1.7 Kapazitätsbelag

$$C'_b = \frac{2\pi\epsilon_0}{\ln \left(\frac{D_{\text{ers}}}{r_B \sqrt{1 + \left(\frac{D_{\text{ers}}}{2h} \right)^2}} \right)}$$

für $D \ll 2h$: $C'_b = \frac{2\pi\epsilon_0}{\ln \left(\frac{D_{\text{ers}}}{r_B} \right)}$

2.1.8 Nullkapazität

$$C'_{(0)} = \frac{2\pi\epsilon_0}{3 \ln \frac{2h}{\sqrt{r \cdot D^2}}}$$

2.1.9 Ohmscher Querleitwert G'

Verluste durch Ableitströme über Isolatoren und durch Koronaverluste.

spezifische Arbeitsverluste: $P'_V = 3 \cdot \left(\frac{U_n}{\sqrt{3}} \right)^2 \cdot G'_b = U_n^2 \cdot G'_b$

Betriebsableitbelag: $G'_b = \frac{P'_V}{U_n^2}$

2.2. Kabel

Querschnitt: $Q = (\pi r_a^2 - \pi r_i^2)$

Eindringtiefe: $\delta = \sqrt{\frac{2}{\omega \mu \kappa}}$

2.2.1 Widerstandsbelag R'

Widerstand pro Längeneinheit: $R'_{20} = \frac{1}{\kappa_{20} Q}$

mit Temperaturabhängigkeit: $R'_{\vartheta} = \frac{1}{\kappa_{20} Q} [1 + \alpha(\vartheta - 20K)]$

Stromverdrängung / Skineffekt

für dicke massive Leiter. Erhöhung des ohmschen Widerstandes des Leiters.

y_s	Skineffekt-Korrekturfaktor
R	Wechselstromwiderstand
$R_{\text{=}}$	Gleichstromwiderstand
f	Frequenz

$\frac{R}{R_{\text{=}}} \approx 1 + y_s$

$y_s = \frac{x_s^4}{192 + 0,8 \cdot x_s^4}$

$x_s = \sqrt{\frac{2 \cdot \mu \cdot f \cdot k_s}{R'_{\text{=}}}}$ mit $k_s = \begin{cases} 1 & \text{für Rundleiter} \\ 0,5 & \text{für Segmentleiter} \end{cases}$

2.2.2 Induktivitätsbelag L'

Betriebsinduktivitätsbelag: $L'_b = \frac{L}{l} B = \left(2 \ln \frac{D}{r} + \frac{1}{2}\right) \cdot 10^{-4} \frac{\text{H}}{\text{km}}$

Betriebsreaktanzenbelag: $X'_b = \omega L'_b$

Induktivitätsbelag eines Hohlleiters:

$\omega L'_{b\text{HL}} = \omega L'_b \cdot (0,96 + 0,051 \frac{r_a - r_i}{r_a})$ für $0 < \frac{r_a - r_i}{r_a} < 0,6$

2.2.3 Kapazitätsbelag C'

Radialfeldkabel:

$C'_b = \frac{2\pi\epsilon}{\ln\left(\frac{R_a}{R_i}\right)}$

$C'_L = 0$

Gürtelkabel:

$C'_b = \frac{2\pi\epsilon_0\epsilon_r}{\ln\sqrt{\frac{3c^2(R_a^2 - c^2)^3}{R_i^2(R_a^6 - c^6)}}}$

2.2.4 Ohmscher Querleitwert

$G'_b = \tan \delta \cdot \omega C'_b$

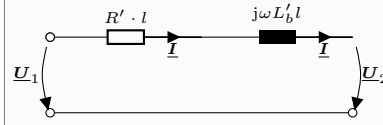
2.2.5 typische Werte

Symbol	Einheit	typische Werte
R'	$\left[\frac{\Omega}{\text{km}}\right]$	0,01 ... 0,05
$X' = \omega L'_b$	$\left[\frac{\Omega}{\text{km}}\right]$	0,1 ... 0,2
$Y'_b = \omega C'_b$	$\left[\frac{\text{S}}{\text{km}}\right]$	50 ... 100
Z_w	$[\Omega]$	32 ... 63

3. Leitung im stationären und nichtstationären Betrieb

3.1. Vereinfachte Leitungsbetrachtung

vernachlässigen von G_b und Y_b



Längsspannungsfall: $\Delta U = R \cdot I_w + \omega L_b \cdot I_b$

Querspannungsfall: $\delta U = \omega L_b \cdot I_w - R \cdot I_b$

3.2. Leitungsgleichung für einphasige Leitung

$\frac{\partial^2 u}{\partial x^2} = L' \cdot C' \cdot \frac{\partial^2 u}{\partial t^2} + (R' \cdot C' + L' \cdot G') \cdot \frac{\partial u}{\partial t} + R' \cdot C' \cdot u$

$\frac{\partial^2 i}{\partial x^2} = L' \cdot C' \cdot \frac{\partial^2 i}{\partial t^2} + (R' \cdot C' + L' \cdot G') \cdot \frac{\partial i}{\partial t} + R' \cdot G' \cdot i$

Übertragungsmaß:

$\underline{\gamma} = \alpha + j \cdot \beta = \sqrt{(R'(\omega) + j\omega L'(\omega)) \cdot (G'(\omega) + j\omega C'(\omega))}$

3.3. Leitungsgleichungen für Drehstromleitungen

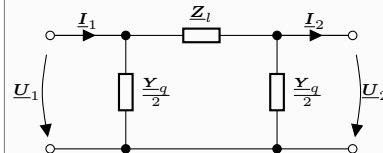
Übertragungsmaß $\underline{\gamma} = \alpha + j\beta = \sqrt{(R' + j\omega L') \cdot (G' + j\omega C')}$

Betriebswellenimpedanz $\underline{Z}_w = \sqrt{\frac{R' + j\omega L'}{G' + j\omega C'}}$

Zweitorgleichung der verlustbehafteten Leitung:

$\begin{pmatrix} \underline{U}_1 \\ \underline{I}_1 \end{pmatrix} = \begin{bmatrix} \cosh(\underline{\gamma} \cdot l) & \underline{Z}_w \cdot \sinh(\underline{\gamma} \cdot l) \\ \frac{1}{\underline{Z}_w} \cdot \sinh(\underline{\gamma} \cdot l) & \cosh(\underline{\gamma} \cdot l) \end{bmatrix} \cdot \begin{pmatrix} \underline{U}_2 \\ \underline{I}_2 \end{pmatrix}$

π - Ersatzschaltbild



Längsimpedanz $\underline{Z}_l = \underline{Z}_w \cdot \sinh(\underline{\gamma} \cdot l)$

Queradmittanz $\frac{Y}{2} = \frac{1}{\underline{Z}_w} \cdot \tanh(\underline{\gamma} \cdot \frac{l}{2})$

3.4. verlustlose Fernleitung

Phasenmaß: $\beta = \omega \sqrt{L' C'}$ [1/km]

$\vartheta_{\text{nat}} = \beta l$

Wellenwiderstand für verlustlose Leitungen: $\underline{Z}_w = \sqrt{\frac{L'}{C'}}$

Eine Leitung gilt als elektrisch kurz für $l \leq 200\text{km}$ (Freileitung) bzw. $l \leq 100\text{km}$ (Kabel)

Längsimpedanz (elektrisch lang): $\underline{Z}_l = \underline{Z}_w \cdot j \sin(\beta l)$

Längsimpedanz (elektrisch kurz): $\underline{Z}_l = j\omega L' \cdot l$

Queradmittanz (elektrisch lang): $\frac{Y}{2} = \frac{1}{\underline{Z}_w} \cdot j \tan\left(\frac{\beta l}{2}\right)$

Queradmittanz (elektrisch kurz): $\frac{Y}{2} = j\omega C' \cdot \frac{l}{2}$

Zweitorgleichung:

$$\begin{bmatrix} \underline{U}_1 \\ \underline{I}_1 \end{bmatrix} = \begin{bmatrix} \cos(\beta l) & \underline{Z}_w \cdot j \sin(\beta l) \\ \frac{1}{\underline{Z}_w} \cdot j \sin(\beta l) & \cos(\beta l) \end{bmatrix} \begin{bmatrix} \underline{U}_2 \\ \underline{I}_2 \end{bmatrix}$$

3.5. Eingangsimpedanz

natürliche Leistung: $P_{\text{nat}} = 3 \cdot \frac{U_{\text{=}}^2}{\underline{Z}_w} = \frac{U_{\text{=}}^2}{\underline{Z}_w}$

gibt einen Anhaltswert für die Übertragungsfähigkeit einer Leitung im symmetrischen Drehstromsystem.

3.5.1 Kurzschluss $\underline{Z}_2 = 0$

$\underline{Z}_1 = \underline{Z}_w \cdot j \tan(\beta l)$

3.5.2 Leerlauf $\underline{I}_2 = 0$

$\underline{Z}_1 = \underline{Z}_w \cdot \frac{1}{j \tan(\beta l)}$

$\underline{U}_1 = \cos(\beta l) \cdot \underline{U}_2$

3.5.3 Abschluss mit der Wellenimpedanz $\underline{Z}_2 = \underline{Z}_w$

Betrieb mit natürlicher Leistung:

- $|\underline{U}_1| = |\underline{U}_2|$
- $\angle(U, I) = 0$
- Phasendrehung von U und I um βl

3.6. Blindleistungskompensation

k_q	Quer kompensationsgrad
k_l	Längs kompensationsgrad
C'_w	wirksamer Kapazitätsbelag
L'_w	wirksamer Induktivitätsbelag

wirksamer Wellenwiderstand $\underline{Z}_{Wk} = \sqrt{\frac{L'_w}{C'_w}} = \sqrt{\frac{L'}{C'}} \cdot \sqrt{\frac{1-k_l}{1-k_q}}$

$\frac{P_{\text{natk}}}{P_{\text{nat}}} = \sqrt{\frac{1-k_q}{1-k_l}}$

$\beta k = \omega \sqrt{L'_w \cdot C'_w} = \omega \sqrt{L' \cdot C'} \cdot \sqrt{(1-k_l) \cdot (1-k_q)}$

3.7. Querkompensation

wirksamer Kapazitätsbelag: $C'_w = C' \cdot (1 - k_q) \Rightarrow (1 - k_q) = \frac{C'_w}{C'}$

Kompensationsblindleistung am Leitungsende

$$Q_2 = \frac{P_{\text{nat}}}{\sin(\beta l)} \left[\sqrt{1 - \left(\frac{P_2}{P_{\text{nat}}} \sin(\beta l) \right)^2} - \cos(\beta l) \right]$$

falls Leitung mit Kompensationsinduktivität L_k abgeschlossen ist:

$\underline{I}_2 = \underline{I}_k = \frac{\underline{U}_2}{j\omega L_k}$

Kompensationsreaktanzen: $X_k = \omega L_k = \frac{\underline{Z}_w \cdot \sin(\beta l)}{1 - \cos(\beta l)}$

3.8. Längskompensation

wirksamer Induktivitätsbelag: $L'_w = L' \cdot (1 - k_l)$

Längskompensationsgrad: $k_l = 1 - \frac{L'_w}{L'} = \frac{\omega L' \cdot l - (\omega L' \cdot l - \frac{1}{\omega C_k})}{\omega L' \cdot l}$

Faustregel für die optimale Anzahl der Kondensatorbatterien:

$0 < k_l \leq 0,5 \Rightarrow n = 1 \Rightarrow X_k = k_l \cdot 2 \underline{Z}_w \sin(\beta \frac{l}{2})$

$0,5 < k_l \leq 0,67 \Rightarrow n = 2 \Rightarrow X_k = k_l \cdot \frac{3}{2} \underline{Z}_w \sin(\beta \frac{l}{3})$

$0,67 < k_l \leq 0,75 \Rightarrow n = 3 \Rightarrow X_k = k_l \cdot \frac{4}{3} \underline{Z}_w \sin(\beta \frac{l}{4})$

Kompensationsblindleistung: $Q_{Kc} = 3 \cdot X_k \cdot I_K^2$

Leistungswinkel der kompensierten Leitung: $\vartheta_k = \beta k l$

Grenzwinkel für Stabilität der Leitung: $\vartheta_{\text{Grenz}} = 42^\circ \vartheta = (\vartheta_M)_{\text{Grenz}} - (\vartheta_M + \vartheta_T)$ mit Transformatorwinkel $\vartheta_T \approx 3,5^\circ$, $\vartheta_M \approx 5,5^\circ$

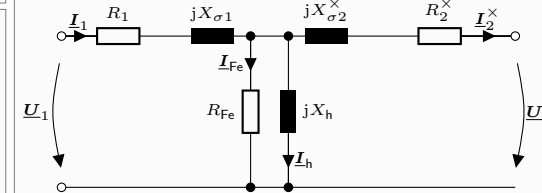
3.9. Übertragungsfähigkeit von Freileitungen

U_n [V]	Leiter	Z_w [Ω]	P_{nat} [MW]	S_{th} [MV A]
10kV	Al/St 50/8	330	0,3	3
30kV	Al/St 95/15	360	2,5	15
110kV	Al/St 240/40	365	33	123
380kV	Al/St 4 · 240/40	240	600	1700
380kV	Al/St 4 · 550/70	240	600	2633
735kV	Al/St 4 · 680/85	260	2080	5860

3.10. Wanderwellen

4. Transformatoren

4.1. Zweiwicklungstransformator



Übersetzung: $\underline{u} = \frac{w_1}{w_2}$

$\underline{I}_2^x = \frac{\underline{I}_2}{u}$ mit w_1, w_2 sind Windungszahlen

$\underline{U}_2^x = \underline{u} \underline{U}_2$

$\underline{Z}_2^x = u^2 \underline{Z}_2$

$\underline{U}_2^x \cdot \underline{I}_2^x = \underline{u} \underline{U}_2 \cdot \frac{\underline{I}_2}{u} = \underline{U}_2 \cdot \underline{I}_2$

Bemessungsstrom: $\underline{I}_r = \frac{S_{rT}}{\sqrt{3} U_{rT}}$

Kupferverluste: $P_{cu} = 3 U_{Rk} I_1 = 3 R_k J_1^2$

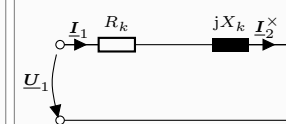
4.1.1 Leerlauf

Leerlaufstrom: $\underline{I}_0 = \underline{I}_{Fe} + \underline{I}_h$

Hauptreaktanzen: $X_h = \text{Im} \left\{ \frac{\underline{U}_{r1}}{\underline{I}_h} \right\}$

Eisenverluste (im Einphasentransformator): $R_{Fe} = \frac{U_{r1}^2}{P_0} = u^2 \cdot \frac{U_{r2}^2}{P_0}$

4.1.2 Kurzschluss



Kurzschlussimpedanz:

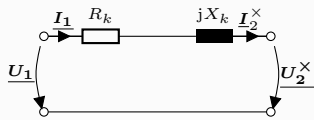
$\underline{Z}_k = \frac{\underline{U}_k}{\underline{I}_{r1}} = (R_1 + R_2^x) + j(X_{\sigma 1} + X_{\sigma 2}^x) = R_k + jX_k$

relative Kurzschlussleistung:

$u_k = \frac{U_k}{U_{r1}} = \frac{I_{r1} \cdot X_k}{U_{r1}} \cdot \left(\frac{U_{r1}}{U_{r1}} \right) = \frac{S_{rT} \cdot X_k}{U_{r1}^2}$

Bezogener Spannungsfall: $u_x = \frac{X_k S_{rT}}{U_{r1}^2}$

4.1.3 Bemessungsstrom



$$X_h \rightarrow \infty \quad R_{Fe} \rightarrow \infty$$

$$R_k = R_1 + R_2^* \quad X_k = X_{\sigma 1} + X_{\sigma 2}^* \quad \underline{Z}_k = R_k + jX_k$$

4.1.4 Übersetzung ü

Übersetzung: $\ddot{u} = \frac{w_1}{w_2}$ mit $w_1 :=$ Primärwicklung, $w_2 :=$ Sekundärwicklung

$$\text{Leerlaufübersetzung } \ddot{u}_0 = \frac{U_1}{U_2} \approx \frac{w_1}{w_2}$$

4.2. Drehstromtransformator

$$\text{Kurzschlussspannung: } u_k = \frac{U_{kT}}{U_{rT}} = \frac{\frac{\sqrt{3}}{3}}{\frac{U_{rT}}{\sqrt{3}}} = \frac{X_k \cdot I_{rT}}{\frac{U_{rT}}{\sqrt{3}}}$$

$$\text{Bemessungsleistung: } S_{rT} = \sqrt{3} \cdot U_{rT} \cdot I_{rT}$$

$$\text{Kurzschlussreaktanzen: } X_k = \frac{u_k \cdot U_{rT}^2}{S_{rT}}$$

$$X_{k(Y)} = \frac{X_k(\Delta)}{3}$$

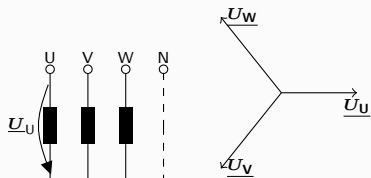
$$\text{Bezogene Kurzschlussspannung: } \underline{u}_k = u_R + ju_x$$

Typische Werte:

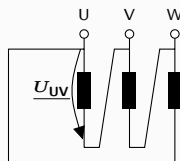
Anwendung	S_r/MVA	$u_R/\%$	$u_x/\%$
Niederspannung	0,25 ... 1,6	1,8 ... 1,0	5,8
Mittelspannung	2,5 ... 25	1,0 ... 0,5	7 ... 8,5
Hochspannung 110kV	16 ... 63	0,7 ... 0,6	12
Hochspannung 220kV	100 ... 400	0,5 ... 0,3	12 ... 14
Hochspannung 380kV	630 ... 1500	0,2	13 ... 16

4.3. Wicklungsverschaltung

4.3.1 Sternschaltung



4.3.2 Dreieckschaltung



4.3.3 Zickzackschaltung

5. Kurzschlussstromberechnung

I_k''	Anfangskurzschlusswechselstrom
I_k	Dauerkurzschlussstrom
$I_a = I_b$	Ausschaltwechselstrom
i_p	Stoßkurzschlussstrom

5.1. Allgemeines

Kurzschluss ist generaturnah falls gilt: $I_k'' \geq 2I_{rG}$

5.1.1 generatorfern

AC Anteil mit konst. Amplitude + auf Null abklingender aperiodischer DC Anteil

$$\text{es gilt: } I_k'' = I_b = I_k$$

5.1.2 generaturnah

AC Anteil mit abklingender Amplitude + auf Null abklingender aperiodischer DC Anteil

5.2. Dreipoliger Kurzschluss

unvermaschtes Netz: $i_p = \kappa \sqrt{2} \cdot I_k''$

vermaschtes Netz: $\kappa = 1,02 + 0,98e^{-3 \cdot R/X}$

$$I_k'' = \frac{c \cdot U_n N}{\sqrt{3} Z_k}$$

$$i_p = 1,15 \cdot \kappa \sqrt{2} \cdot I_k''$$

5.2.1 Symmetrischer Ausschaltwechselstrom

Geilanteil: $I_{dc} = \sqrt{2} I_k'' e^{-2\pi f t R/X}$

Generatorfern: $I_b = I_k''$

Generaturnah: $I_b = \mu \cdot I_k''$ mit μ siehe S. 177

5.3. Ersatzschaltungen und Ersatzimpedanzen

5.3.1 Synchrongenerator

$$X_d'' = x_d'' \frac{U_r^2}{S_{rG}}$$

5.3.2 Netzeinspeisung

$$Z_Q = \frac{c \cdot U_n Q}{\sqrt{3} \cdot I_k Q}$$

$$X_Q = \frac{Z_Q}{\sqrt{1 + (R_Q/X_Q)^2}}$$

5.3.3 Transformator

$$Z_T = u_{kr} \cdot \frac{U_{rT}^2}{S_{rT}}$$

$$R_T = u_{Rr} \cdot \frac{U_{rT}^2}{S_{rT}} = \frac{P_{krT}}{3I_{rT}^2}$$

$$X_T = \sqrt{Z_T^2 - R_T^2}$$

5.4. unsymmetrische Kurzschlüsse

5.4.1 Zweipoliger Kurzschluss ohne Erdberührung

$$I_{k2}'' = \frac{c \cdot U_n}{2|\underline{Z}_{(1)}|} = \frac{\sqrt{3}}{2} I_k''$$

$$i_{p2} = \frac{\sqrt{3}}{2} i_p = \kappa \cdot \sqrt{2} \cdot I_{k2}''$$

5.4.2 Zweipoliger Kurzschluss mit Erdberührung

$$I_{kE2E}'' = \frac{\sqrt{3} \cdot c \cdot U_n}{|\underline{Z}_{(1)} + 2\underline{Z}_{(0)}|}$$

$$i_{p2E} = \kappa \cdot \sqrt{2} \cdot I_{kE2E}''$$

5.4.3 Einpoliger Erdschluss

$$I_{k1}'' = \frac{\sqrt{3} \cdot c \cdot U_n}{|2\underline{Z}_{(1)} + \underline{Z}_{(0)}|}$$

$$i_{p1} = \kappa \cdot \sqrt{2} \cdot I_{k1}''$$

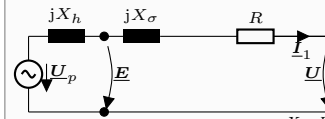
6. Synchrongenerator

6.1. stationärer Betrieb

U	Klemmenspannung
I	Strangstrom
U_p	Polradspannung

$$\underline{U} = \underline{U}_p - (R + jX_d) \cdot \underline{I}$$

mit $X_d = \omega \cdot (L_h + L_\sigma)$



$$\text{bezogene synchrone Reaktanz } x_d = \frac{X_d \cdot I_{rG}}{U_{rG}/\sqrt{3}} \approx 2,0$$

$$\text{synchrone Reaktanz: } X_d = \frac{x_d \cdot U_{rG}^2}{S_{rG}}$$

$$X_d \cdot I_w = U_p \sin \theta_M \text{ mit } \theta_M \text{ ist elektrischer Polradwinkel}$$

$$\text{abgegebene Wirkleistung: } P = 3 \cdot U \cdot I_w$$

übererregter Betrieb $|\underline{U}_p| > |\underline{U}|$ Maschine gibt induktive Blindleistung ab (wirkt wie Kapazität)

$$\underline{I} = I_w - jI_b \Rightarrow Q > 0$$

untererregter Betrieb $|\underline{U}_p| < |\underline{U}|$ Maschine nimmt induktive Blindleistung auf (wirkt wie Induktivität)

$$\underline{I} = I_w + jI_b \Rightarrow Q < 0$$

7. Sternpunktbehandlung

7.1. Allgemeines

$U_{LE(F)}$	Spannung d. fehlerh. Außenleiter bei Erdberührung
$U_{b(F)}$	Außenleiterspannung wenn kein Fehler wäre
I_{CE}	kapazitiver Erdschlussstrom

$$\text{Erdfehlerfaktor (Wirksamkeit der Sternpunktterdung): } \delta = \frac{U_{LE(F)}}{U_{b(F)}/\sqrt{3}}$$

Netz ist wirksam geerdet falls $\delta \leq 1,4$

Bei wirksamer Erdung hohe Erdkurzschlussströme aber geringe betriebsfrequente und transiente Überspannung

7.2. Netz mit isoliertem (freiem) Sternpunkt

Bei einpoligem Erdschluss vergrößern sich die Beträge der Leiter-Erde Spannungen der gesunden Leiter um $\sqrt{3} \Rightarrow \delta = \sqrt{3}$

Fehlerstrom (bei Erdschluss in L1):

$$\underline{I}_1 = \underline{I}_{CE} = j\sqrt{3} \cdot 1,1 \cdot U_n \omega C_E$$

7.3. Netz mit Erdschlusskompensation

wirksamer Nullleitwert: $\underline{Y}_{(0)} = \frac{1}{j3X_{EL}} + j\omega C_E$

$$\text{Fehlerstrom: } \underline{I}_{E(F)} = 3 \cdot \underline{I}_{(0)} = 3 \cdot \frac{U_b}{\sqrt{3}} j \cdot (\omega C_E - \frac{1}{3X_{EL}})$$

$$\text{Strom durch die Erdlöschspule: } \underline{I}_{Sp} = \frac{U_b/\sqrt{3}}{jX_{EL}}$$

7.4. Netz mit niederohmiger Sternpunktterdung

meist in Freileitungsnetzen mit $U_n \geq 220kV$ bzw. Kabelnetzen mit $U_n \geq 110kV$

$$\text{Erdfehlerfaktor: } \delta = \left| a^2 + \frac{\underline{Z}_{(1)} - \underline{Z}_{(0)}}{2\underline{Z}_{(1)} + \underline{Z}_{(0)}} \right|$$